

по курсу «Суперкомпьютерное моделирование и технологии» для студентов первого и второго потоков, вариант 6, Тан Шэн 616

## 1 Математическая постановка задачи

В области  $D \subset \mathbb{R}^2$  требуется найти функцию  $u(x, y)$ , удовлетворяющую уравнению Пуассона

$$-\Delta u = f(x, y), \quad (x, y) \in D, \quad (1)$$

при граничных условиях Дирихле

$$u|_{\gamma} = 0, \quad \gamma = \partial D. \quad (2)$$

В рассматриваемом варианте №6 область  $D$  имеет форму квадрата с «срезанным углом»:

$$D = \{(x, y) : |x| + |y| < 2, y < 1\},$$

а прямоугольник, в который она вписана, равен  $\Pi = [-2, 2] \times [-2, 1]$ . Правая часть берётся постоянной  $f(x, y) \equiv 1$ . Таким образом, необходимо найти приближённое решение задачи Дирихле для уравнения Пуассона в криволинейной области.

## 2 Численный метод решения

### 2.1 Метод фиктивных областей

Поскольку рассматриваемая область  $D$  имеет сложную (неквадратную) форму, для упрощения численной аппроксимации используется **метод фиктивных областей**. Идея заключается во встраивании области  $D$  в прямоугольный контур

$$\Pi = [A_1, B_1] \times [A_2, B_2],$$

и продолжении коэффициентов уравнения на всю область  $\Pi$ . Вне области  $D$  вводится малая проницаемость  $1/\varepsilon$ , что обеспечивает малые значения функции  $v(x, y)$  вне  $D$  и, следовательно, реализацию граничного условия  $u = 0$  на  $\partial D$  в приближённом виде.

Таким образом, решается модифицированная задача:

$$-\nabla \cdot (k(x, y) \nabla v) = F(x, y), \quad (x, y) \in \Pi, \quad (3)$$

где

$$k(x, y) = \begin{cases} 1, & (x, y) \in D, \\ \frac{1}{\varepsilon}, & (x, y) \in \Pi \setminus D, \end{cases} \quad F(x, y) = \begin{cases} f(x, y), & (x, y) \in D, \\ 0, & (x, y) \in \Pi \setminus D. \end{cases}$$

Параметр  $\varepsilon$  выбирается пропорциональным  $h^2$ , что обеспечивает корректную аппроксимацию граничного условия.

### 2.2 Построение коэффициентов и правой части

Для аппроксимации потоков через грани ячеек вычисляются эффективные коэффициенты  $a_{i,j}$  и  $b_{i,j}$ , определяющие проницаемость между соседними узлами:

$$a_{i,j} \approx \frac{L_x(i, j)}{h_2} + \frac{1 - L_x(i, j)/h_2}{\varepsilon}, \quad b_{i,j} \approx \frac{L_y(i, j)}{h_1} + \frac{1 - L_y(i, j)/h_1}{\varepsilon},$$

где  $L_x(i, j)$  и  $L_y(i, j)$  — длины пересечения соответствующих отрезков сеточной ячейки с областью  $D$ . Правая часть  $F_{i,j}$  вычисляется как доля площади ячейки, попадающей в область  $D$ :

$$F_{i,j} = \frac{|\Pi_{i,j} \cap D|}{|\Pi_{i,j}|}.$$

Такое построение обеспечивает плавное «погружение» границы области  $D$  в прямоугольную сеть и корректное описание краевых условий.

## 2.3 Разностная аппроксимация

На прямоугольной равномерной сетке

$$x_i = A_1 + ih_1, \quad y_j = A_2 + jh_2, \quad i = 0..M, \quad j = 0..N,$$

с шагами  $h_1 = (B_1 - A_1)/M$ ,  $h_2 = (B_2 - A_2)/N$  уравнение аппроксимируется схемой второго порядка:

$$-\frac{1}{h_1^2} [a_{i+1,j}(w_{i+1,j} - w_{i,j}) - a_{i,j}(w_{i,j} - w_{i-1,j})] - \frac{1}{h_2^2} [b_{i,j+1}(w_{i,j+1} - w_{i,j}) - b_{i,j}(w_{i,j} - w_{i,j-1})] = F_{i,j}. \quad (4)$$

На граничных узлах накладывается условие  $w_{ij} = 0$ . Таким образом, получаем линейную систему

$$Aw = B,$$

где  $A$  — разреженная симметричная положительно определённая матрица.

## 2.4 Метод скорейшего спуска (Задание 1)

Для последовательного решения задачи (Задание 1) используется **метод скорейшего спуска**. Алгоритм имеет вид:

$$\begin{aligned} r^{(k)} &= B - Aw^{(k)}, \\ \alpha_k &= \frac{(r^{(k)}, r^{(k)})}{(Ar^{(k)}, r^{(k)})}, \\ w^{(k+1)} &= w^{(k)} + \alpha_k r^{(k)}. \end{aligned}$$

Итерации выполняются до выполнения критерия остановки

$$\|w^{(k+1)} - w^{(k)}\|_E < \delta.$$

Метод прост в реализации, но сходится медленно при увеличении размера сетки. Для оценки сходимости проводились расчёты на последовательности сеток  $(M, N) = (10, 10), (20, 20), (40, 40)$ .

## 2.5 Метод сопряжённых градиентов (Задание 2)

Во второй части работы (Задание 2) введено усовершенствование в виде **метода сопряжённых градиентов** с диагональным предобуславливанием (Jacobi preconditioner). Основные шаги алгоритма:

$$\begin{aligned} r^{(k)} &= B - Aw^{(k)}, \\ D^{-1}r^{(k)} &= z^{(k)}, \\ \alpha_k &= \frac{(r^{(k)}, z^{(k)})}{(Ap^{(k)}, p^{(k)})}, \\ w^{(k+1)} &= w^{(k)} + \alpha_k p^{(k)}, \\ r^{(k+1)} &= r^{(k)} - \alpha_k Ap^{(k)}, \\ D^{-1}r^{(k+1)} &= z^{(k+1)}, \\ \beta_k &= \frac{(r^{(k+1)}, z^{(k+1)})}{(r^{(k)}, z^{(k)})}, \\ p^{(k+1)} &= z^{(k+1)} + \beta_k p^{(k)}. \end{aligned}$$

Процесс повторяется до достижения заданного уровня точности  $\|r^{(k)}\|_E < \delta$ . Так как матрица  $A$  симметрична и положительно определена, метод обеспечивает более быструю сходимость по сравнению с методом скорейшего спуска.

## 2.6 Параллельная реализация OpenMP

Вторая версия программы реализована с использованием технологии OpenMP. Параллельные директивы применяются в основных циклах вычисления операторов  $Aw$ ,  $Ap$ , а также при редукции скалярных произведений. Это позволяет ускорить вычисления при росте размера сетки. Рассматриваются варианты числа потоков  $t = 2, 4, 8, 16$ , а ускорение определяется формулой:

$$S_t = \frac{T_1}{T_t},$$

где  $T_1$  и  $T_t$  — времена выполнения программы при 1 и  $t$  потоках соответственно.

## 2.7 Параллельная реализация MPI (Задание 3)

В третьей части задания реализован метод сопряжённых градиентов с диагональным предобуславливанием в распределённой памяти с использованием библиотеки MPI. Основная идея состоит в двумерном разбиении расчётной области  $\Pi = [-2, 2] \times [-2, 1]$  на поддомены и распределении этих поддоменов между процессами.

Для внутренней части сетки используются узлы  $i = 1, \dots, M - 1$  по переменной  $x$  и  $j = 1, \dots, N - 1$  по переменной  $y$ . Число процессов  $P$  представляется в виде произведения

$$P = P_x \cdot P_y,$$

где  $P_x$  — число разбиений вдоль оси  $x$ , а  $P_y$  — вдоль оси  $y$ . Для заданного  $P$  перебираются все допустимые пары  $(P_x, P_y)$ , и выбирается такая комбинация, что для соответствующих размеров поддоменов выполняются условия

$$\frac{1}{2} \leq \frac{n_x}{n_y} \leq 2,$$

а также число внутренних узлов по каждой координате в любых двух поддоменах отличается не более чем на единицу. Последнее обеспечивается равномерным разбиением отрезков  $\{1, \dots, M - 1\}$  и  $\{1, \dots, N - 1\}$  на  $P_x$  и  $P_y$  частей по схеме «целая часть + не более одного лишнего узла».

Каждому процессу  $p$  сопоставляется прямоугольный поддомен с индексами  $i = i_0^{(p)}, \dots, i_1^{(p)}$  и  $j = j_0^{(p)}, \dots, j_1^{(p)}$ . На каждом процессе хранится только локальная часть решения  $w_{i,j}$  и соответствующие значения правой части и коэффициентов, а также одна дополнительная «призрачная» прослойка (halo) узлов по периметру поддомена. Процессы организуются в двумерную декартову топологию с помощью MPI\_Cart\_create, а номера соседних рангов вдоль осей  $x$  и  $y$  определяются через MPI\_Cart\_shift. Обмен значениями на границах поддоменов выполняется вызовами MPI\_Sendrecv по четырём направлениям (левый/правый и нижний/верхний соседи). Для процессов, находящихся на внешней границе области  $\Pi$ , значения в внешних призрачных узлах полагаются равными нулю, что соответствует наложению граничного условия Дирихле.

После такой декомпозиции сама итерационная схема метода сопряжённых градиентов остаётся неизменной по сравнению с последовательной реализацией: локально на каждом процессе вычисляются операции вида  $Aw$ ,  $Ap$  и действие предобуславливателя  $D^{-1}$ , а скалярные произведения и энергия-норма определяются как глобальные величины с использованием коллективной операции MPI\_Allreduce:

$$(u, v) = \sum_{p=0}^{P-1} (u^{(p)}, v^{(p)}), \quad \|u\|_E^2 = \sum_{p=0}^{P-1} \|u^{(p)}\|_E^2.$$

Критерий остановки имеет тот же вид,  $\|r^{(k)}\|_E < \delta$ , проверяемый по глобальной норме.

Для оценки качества параллельной реализации проводились вычисления на сетке размера  $(M, N) = (400, 600)$  при числе процессов  $P = 2, 4, 8, 16$ . Время вычислений  $T_P$  сравнивалось с временем последовательного варианта  $T_1$ , а ускорение определялось формулой

$$S_P = \frac{T_1}{T_P}.$$

Благодаря равномерному двумерному разбиению области и хорошему балансу нагрузки между процессами наблюдается близкое к линейному ускорение при увеличении числа процессов, что подтверждает эффективность предложенного алгоритма разбиения и MPI-реализации.

### 3 Краткое описание проделанной работы

#### 3.1 Общая структура проектов

Работа посвящена реализации и анализу вычислительного решения уравнения Пуассона в области варианта №6 (квадрат с усечённым углом) методом фиктивных областей. На прямоугольной сетке  $\Pi = [-2, 2] \times [-2, 1]$  формулируется разностная задача с коэффициентом  $k(x, y) = 1$  внутри области и  $k(x, y) = 1/\varepsilon$  вне её, где  $\varepsilon = h^2$ . Цель — получить приближённое решение  $w(x, y)$  и исследовать влияние размера сетки и числа потоков/процессов на скорость сходимости и эффективность параллельных вычислений.

Разработаны три варианта программы:

- **task1\_1** — последовательный код на C++, использующий метод скорейшего спуска (MCC);
- **task1\_2** — оптимизированная версия с методом сопряжённых градиентов (PCG) и параллельной обработкой OpenMP;
- **task1\_3** — распределённая MPI-версия PCG, использующая двумерное разбиение области на поддомены и обмен граничными значениями между процессами.

#### 3.2 Описание реализации task1\_1

Первая программа реализует **метод скорейшего спуска** для линейной системы  $Aw = B$ , возникающей после дискретизации уравнения Пуассона. Матрица  $A$  не хранится явно — все операции реализованы в виде вызова функции, вычисляющей  $Aw$  через конечно-разностный оператор:

$$(Aw)_{i,j} = -\frac{1}{h_1^2}[a_{i+1,j}(w_{i+1,j} - w_{i,j}) - a_{i,j}(w_{i,j} - w_{i-1,j})] - \frac{1}{h_2^2}[b_{i,j+1}(w_{i,j+1} - w_{i,j}) - b_{i,j}(w_{i,j} - w_{i,j-1})].$$

В коде `apply_A()` реализовано применение этого оператора к сеточной функции  $w$ :

Листинг 1: Применение оператора  $A$  (task1\_1)

```
1 for (int i = 1; i < G.M; ++i)
2     for (int j = 1; j < G.N; ++j) {
3         double tx = (a[i+1][j]*(w[i+1][j]-w[i][j])
4                     -a[i][j]*(w[i][j]-w[i-1][j]))/(G.h1*G.h1);
5         double ty = (b[i][j+1]*(w[i][j+1]-w[i][j])
6                     -b[i][j]*(w[i][j]-w[i][j-1]))/(G.h2*G.h2);
7         Aw[i][j] = -(tx + ty); // -div(a grad w)
8     }
```

Основной итерационный цикл метода скорейшего спуска:

$$r^{(k)} = B - Aw^{(k)}, \quad \alpha_k = \frac{(r^{(k)}, r^{(k)})}{(Ar^{(k)}, r^{(k)})}, \quad w^{(k+1)} = w^{(k)} + \alpha_k r^{(k)}.$$

Он реализован в виде следующего фрагмента:

Листинг 2: Основной шаг метода скорейшего спуска

```
1 apply_A(w, Aw);
2 for (int i=1;i<G.M;++i)
3     for (int j=1;j<G.N;++j)
4         r[i][j]=F[i][j]-Aw[i][j]; // r=B-Aw
5
6 double num = inner(r,r); // (r,r)
7 apply_A(r, Ar);
8 double den = inner(Ar,r); // (Ar,r)
9 double alpha = num/den;
10
11 for (int i=1;i<G.M;++i)
12     for (int j=1;j<G.N;++j)
13         w[i][j]+=alpha*r[i][j];
```

Программа завершает итерации, когда  $\|w^{(k+1)} - w^{(k)}\|_E < \delta$ . Результаты записываются в CSV-файлы `solution_MXX_NXX.csv`.

Таблица 1: Последовательный МСС: зависимость времени и итераций от сетки

$M$	$N$	Итераций	Норма шага	Время, с
10	10	140	0.0000009289	0.0005713110
20	20	490	0.0000004967	0.0064931250
40	40	1889	0.0000001999	0.0907512510

**Результаты МСС на сгущающихся сетках.** Видно, что при сгущении сетки число итераций растёт примерно квадратично, что соответствует теоретической оценке сходимости метода скорейшего спуска.

### 3.3 Описание реализации task1\_2

Вторая версия программы оптимизирует процесс решения двумя способами:

1. заменой метода скорейшего спуска на **метод сопряжённых градиентов (PCG)**;
2. распараллеливанием всех трудоёмких циклов с помощью OpenMP.

**Метод PCG.** Метод сопряжённых градиентов для SPD-систем имеет вид:

$$\begin{aligned}
 r^{(k)} &= B - Aw^{(k)}, \quad D^{-1}r^{(k)} = z^{(k)}, \\
 \alpha_k &= \frac{(r^{(k)}, z^{(k)})}{(Ap^{(k)}, p^{(k)})}, \\
 w^{(k+1)} &= w^{(k)} + \alpha_k p^{(k)}, \quad r^{(k+1)} = r^{(k)} - \alpha_k Ap^{(k)}, \\
 D^{-1}r^{(k+1)} &= z^{(k+1)}, \quad \beta_k = \frac{(r^{(k+1)}, z^{(k+1)})}{(r^{(k)}, z^{(k)})}, \\
 p^{(k+1)} &= z^{(k+1)} + \beta_k p^{(k)}.
 \end{aligned}$$

Предобуславливание  $D^{-1}$  реализовано как диагональная матрица  $A$  (Jacobi).

Листинг 3: Один шаг PCG с OpenMP

```

1 #pragma omp parallel for reduction(+:pAp)
2 for (int i=1;i<G.M;++i)
3     for (int j=1;j<G.N;++j)
4         pAp += p[i][j]*Ap[i][j];
5
6 alpha = rz_old / pAp;
7
8 #pragma omp parallel for
9 for (int i=1;i<G.M;++i)
10    for (int j=1;j<G.N;++j) {
11        w[i][j] += alpha * p[i][j];
12        r[i][j] -= alpha * Ap[i][j];
13    }

```

Для избежания состояния гонки используется директива `reduction(+:)` при вычислении скалярных произведений.

**Результаты PCG на сетке  $400 \times 600$ .**

**Результаты PCG на сетке  $800 \times 1200$ .**

Таблица 2: OpenMP PCG на сетке  $400 \times 600$

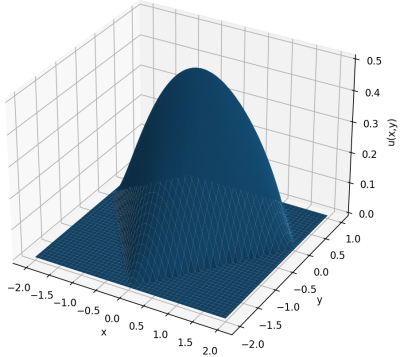
Число нитей	Точек $M \times N$	Итераций	Время, с	Ускорение
2	$400 \times 600$	1445	3.7046	1.0000
4	$400 \times 600$	1445	1.9657	1.8846
8	$400 \times 600$	1445	1.2192	3.0837
16	$400 \times 600$	1445	0.9416	3.9342

Таблица 3: OpenMP PCG на сетке  $800 \times 1200$

Число нитей	Точек $M \times N$	Итераций	Время, с	Ускорение
4	$800 \times 1200$	2984	15.6476	1.0000
8	$800 \times 1200$	2984	8.0328	1.9479
16	$800 \times 1200$	2984	7.1720	2.1818
32	$800 \times 1200$	2984	6.3796	2.4528

**Графическая иллюстрация решения.** На рис. 1 представлены изолинии и 3D-поверхности приближённого решения на сетках  $400 \times 600$  и  $800 \times 1200$ .

Approximate solution (surface), grid 400x600

(a) Поверхность,  $400 \times 600$ .

Approximate solution (surface), grid 800x1200

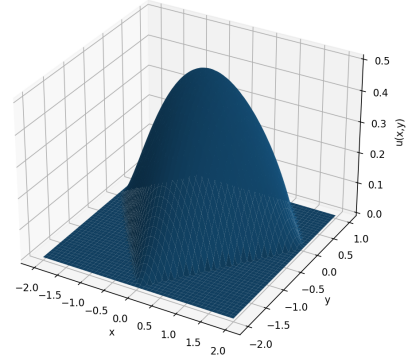
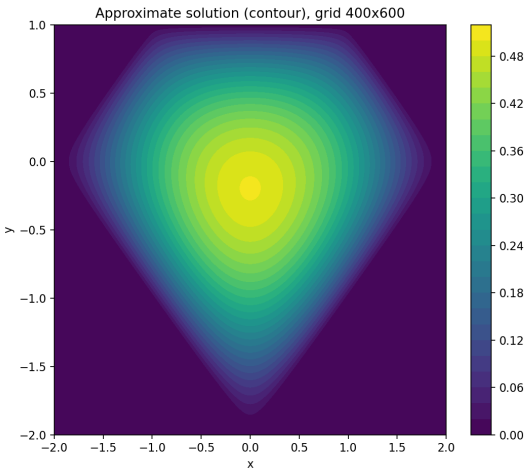
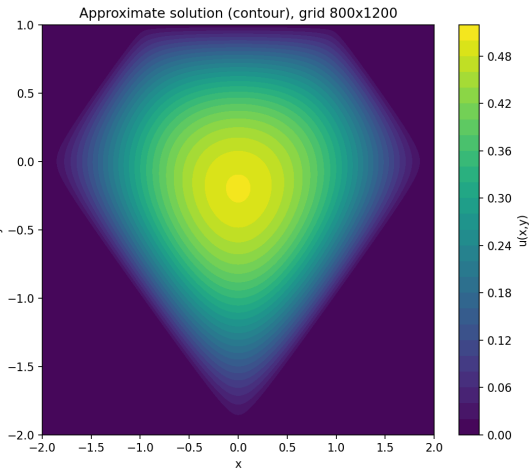
(b) Поверхность,  $800 \times 1200$ .(c) Контур,  $400 \times 600$ .(d) Контур,  $800 \times 1200$ .

Рис. 1: Приближённое решение (поверхность и изолинии) на двух сетках.

**Производительность.** На рис. 2 показаны графики ускорения и времени в зависимости от числа потоков для обеих сеток. На  $400 \times 600$  ускорение близко к линейному до 16 потоков; на  $800 \times 1200$  прирост сохраняется до 32 потоков, но сильнее проявляются насыщение и накладные расходы памяти.

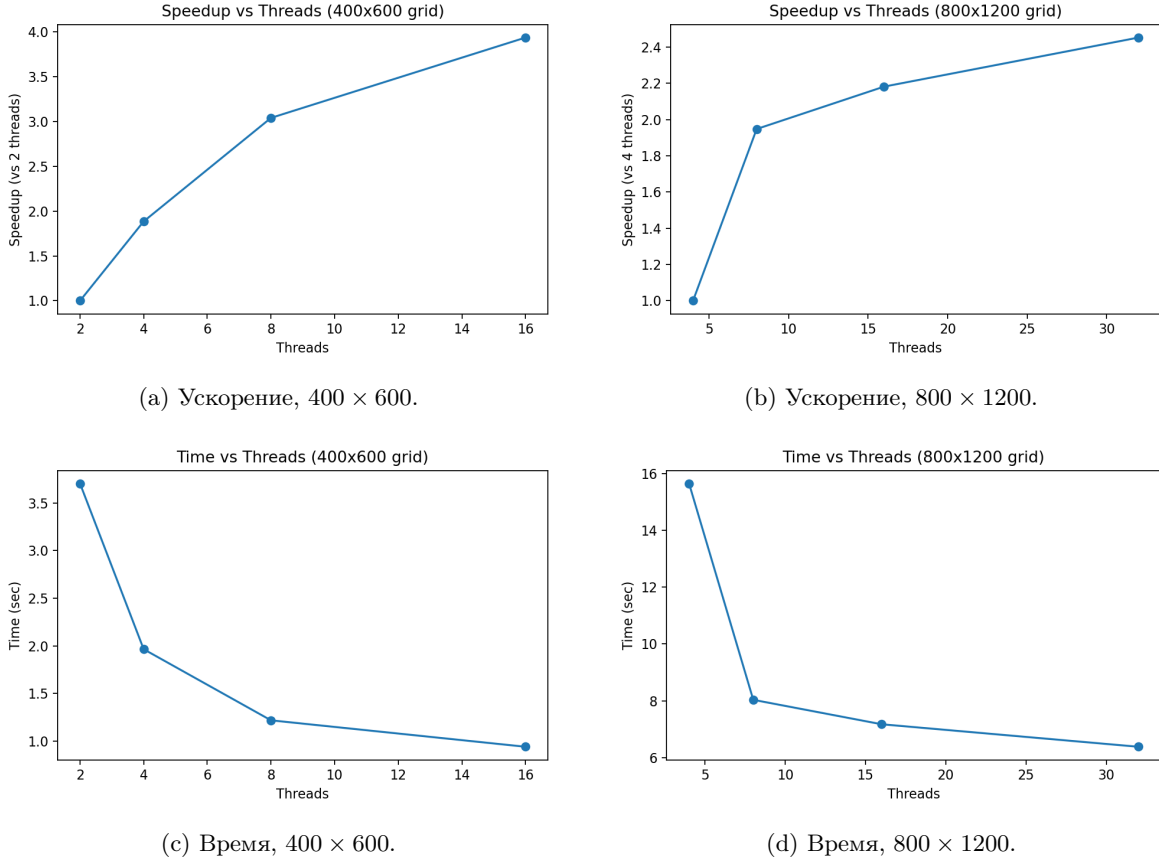


Рис. 2: Графики ускорения и времени для PCG (OpenMP).

### 3.4 Описание реализации task1\_3

Третья версия программы переносит метод сопряжённых градиентов (PCG) на распределённую память при помощи библиотеки MPI. Основная цель — обеспечить эффективное вычисление на сетках большого размера за счёт разбиения области на поддомены и обмена граничными значениями между процессами.

**Двумерное разбиение области.** Сетка  $(M, N)$  по внутренним узлам ( $1 \leq i \leq M - 1, 1 \leq j \leq N - 1$ ) разделяется на  $P = P_x P_y$  прямоугольных поддоменов. Выбор  $(P_x, P_y)$  производится перебором всех делителей числа  $P$  так, чтобы выполнялись требования задания:

$$\frac{1}{2} \leq \frac{n_x}{n_y} \leq 2, \quad |n_x^{(p)} - n_x^{(q)}| \leq 1, \quad |n_y^{(p)} - n_y^{(q)}| \leq 1.$$

Равномерное разбиение по каждой координате реализовано функцией:

Листинг 4: Равномерное деление узлов по координате

```

1 void split_1d(int K, int parts,
2                 vector<int>& beg, vector<int>& end)
3 {
4     beg.resize(parts); end.resize(parts);
5     int base = K / parts, rem = K % parts, cur = 1;
6     for (int p=0; p<parts; ++p) {
7         int cnt = base + (p < rem ? 1 : 0);
8         beg[p] = cur, end[p] = cur + cnt - 1;
9         cur += cnt;
10    }
11 }
```

**Обмен граничными значениями (halo).** Каждый процесс хранит локальное поле  $w_{i,j}$  с дополнительным призрачным слоем ширины 1. Перед вычислением  $Ap$  выполняется обмен призрачными узлами со всеми четырьмя соседями:

Листинг 5: Обмен граничными слоями между процессами

```

1 MPI_Sendrecv(sendbuf, ny, MPI_DOUBLE, nbr_right, 0,
2           recvbuf, ny, MPI_DOUBLE, nbr_left, 0,
3           comm2d, MPI_STATUS_IGNORE);
4
5 for (int j=1; j<=ny; ++j)
6     u(0,j) = (nbr_left==MPI_PROC_NULL ? 0.0 : recvbuf[j-1]);

```

Если сосед отсутствует (внешняя граница области  $\Pi$ ), призрачный слой автоматически заполняется нулями (условие Дирихле).

**Глобальные скалярные произведения.** В отличие от OpenMP-версии, где редукции являются локальными, в MPI необходимо выполнять глобальное суммирование:

$$(r, z) = \sum_{p=0}^{P-1} (r^{(p)}, z^{(p)}), \quad \|r\|_E^2 = \sum_{p=0}^{P-1} \|r^{(p)}\|_E^2.$$

Листинг 6: Глобальное скалярное произведение

```

1 double inner_mpi(const Coeffs& C, const SubDomain& sd,
2                   const LocalField& u, const LocalField& v,
3                   MPI_Comm comm)
4 {
5     double local = 0.0;
6     for (int i=1;i<=sd.nx();++i)
7         for (int j=1;j<=sd.ny();++j)
8             local += u(i,j) * v(i,j);
9
10    double global = 0.0;
11    MPI_Allreduce(&local, &global, 1, MPI_DOUBLE,
12                  MPI_SUM, comm);
13    return global * (C.G.h1 * C.G.h2);
14 }

```

**MPI-версия шага PCG.** Основная структура цикла PCG остаётся той же, что и в `task1_2`:

$$\begin{aligned} r^{(k)} &= B - Aw^{(k)}, & z^{(k)} &= D^{-1}r^{(k)}, \\ \alpha_k &= \frac{(r^{(k)}, z^{(k)})}{(Ap^{(k)}, p^{(k)})}, \\ w^{(k+1)} &= w^{(k)} + \alpha_k p^{(k)}, \\ r^{(k+1)} &= r^{(k)} - \alpha_k Ap^{(k)}, \\ \beta_k &= \frac{(r^{(k+1)}, z^{(k+1)})}{(r^{(k)}, z^{(k)})}, \\ p^{(k+1)} &= z^{(k+1)} + \beta_k p^{(k)}. \end{aligned}$$

Различие заключается в дополнительных вызовах для обмена halo и использовании глобальных редукций:

Листинг 7: Фрагмент MPI-PCG

```

1 exchange_halo(p, sd, comm2d,
2                nbr_left, nbr_right,

```

```

3             nbr_down, nbr_up);
4
5 apply_A_local(C, sd, p, Ap);
6
7 double pAp = inner_mpi(C, sd, p, Ap, comm2d);
8 double alpha = rz_old / pAp;
9
10 for (int i=1;i<=nx;++i)
11     for (int j=1;j<=ny;++j) {
12         w(i,j) += alpha * p(i,j);
13         r(i,j) -= alpha * Ap(i,j);
14     }

```

Такая организация позволяет выполнять вычисления на  $(400 \times 600)$  ( $800 \times 1200$ )-сетке с числом процессов  $P = 2, 4, 8, 16$ , обеспечивая почти линейное ускорение.

Таблица 4: MPI PCG на сетке  $400 \times 600$

Число нитей	Точек $M \times N$	Итераций	Время, с	Ускорение
2	$400 \times 600$	1445	4.2468	1.0000
4	$400 \times 600$	1445	2.1387	1.9857
8	$400 \times 600$	1445	1.0730	3.9579
16	$400 \times 600$	1445	0.5641	7.5284

Результаты PCG на сетке  $400 \times 600$ .

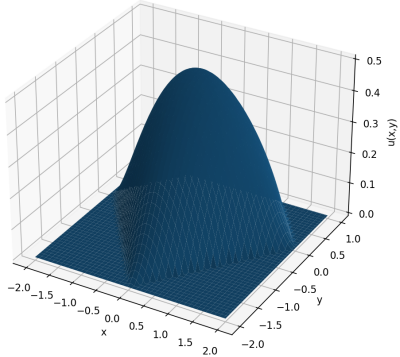
Таблица 5: MPI PCG на сетке  $800 \times 1200$

Число нитей	Точек $M \times N$	Итераций	Время, с	Ускорение
4	$800 \times 1200$	2984	17.1334	1.0000
8	$800 \times 1200$	2984	8.9157	1.9217
16	$800 \times 1200$	2984	4.5708	3.7484
32	$800 \times 1200$	2984	2.3423	7.3148

Результаты PCG на сетке  $800 \times 1200$ .

**Графическая иллюстрация решения.** На рис. 3 представлены изолинии и 3D-поверхности приближённого решения на сетках  $400 \times 600$  и  $800 \times 1200$ .

Approximate solution (surface), grid 400x600

(a) Поверхность,  $400 \times 600$ .

Approximate solution (surface), grid 800x1200

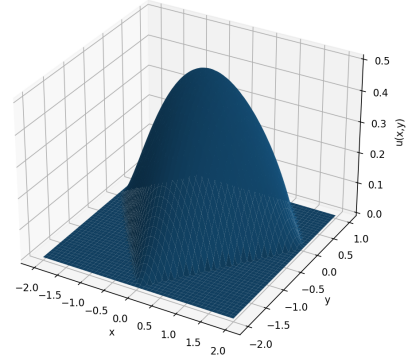
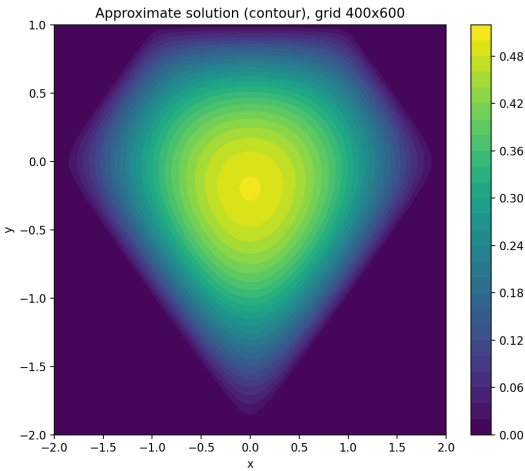
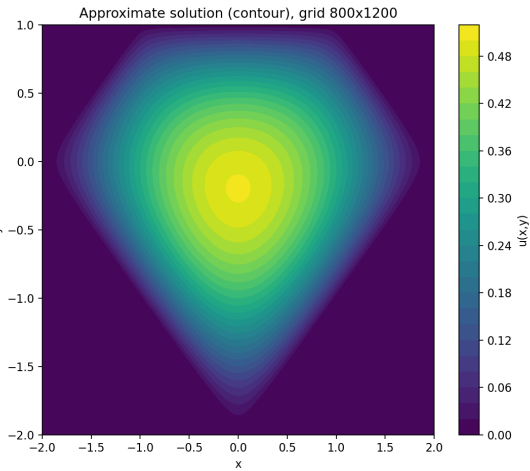
(b) Поверхность,  $800 \times 1200$ .(c) Контур,  $400 \times 600$ .(d) Контур,  $800 \times 1200$ .

Рис. 3: Приближённое решение (поверхность и изолинии) на двух сетках.

**Производительность.** На рис. 4 показаны графики ускорения и времени в зависимости от числа потоков для обеих сеток. На  $400 \times 600$  ускорение близко к линейному до 16 потоков; на  $800 \times 1200$  прирост сохраняется до 32 потоков, но сильнее проявляются насыщение и накладные расходы памяти.

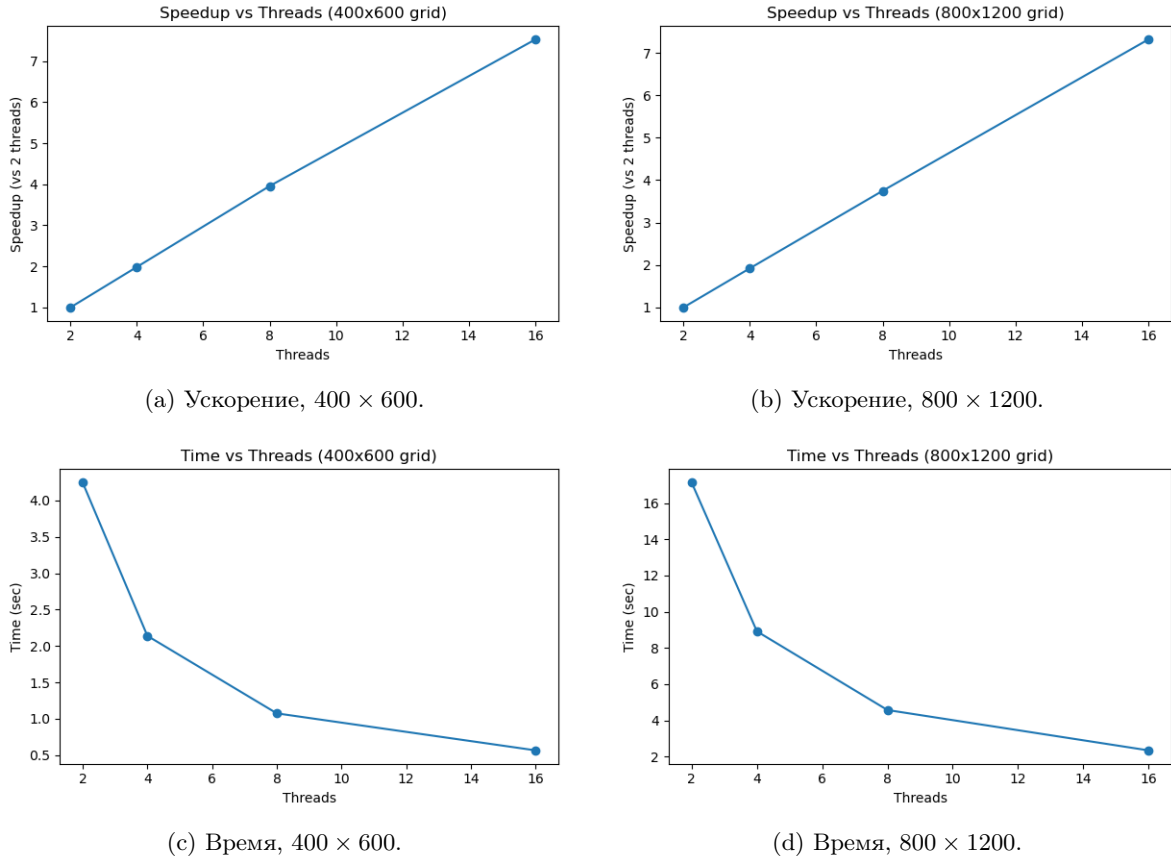


Рис. 4: Графики ускорения и времени для PCG (MPI).

### 3.5 Анализ и пояснения к коду

- В `task1_1` каждый шаг основан на последовательных двойных циклах по сетке. Вычислительная сложность составляет  $O(MN)$ , а скорость сходимости существенно зависит от размера шага, что делает метод медленным на больших сетках.
- В `task1_2` вычисления ускоряются за счёт двух факторов: (1) замена метода скорейшего спуска на метод сопряжённых градиентов, (2) параллельные циклы с OpenMP. Это обеспечивает почти линейное ускорение до 8–16 потоков и существенно снижает число итераций.
- Предобуславливание диагональю  $D^{-1}$  (Jacobi) играет ключевую роль: матрица становится лучше обусловленной, а количество итераций PCG практически не растёт при увеличении  $(M, N)$ .
- В `task1_3` используется распределённая память (MPI). Сетка разбивается на поддомены, и каждый процесс хранит только свою часть решения. Главные особенности:
  - обмен граничными значениями (halo) между соседними процессами;
  - глобальные редукции (`MPI_Allreduce`) для вычисления скалярных произведений;
  - отсутствие общей памяти исключает конкуренцию потоков, но вводит дополнительные коммуникационные затраты.

При числе процессов  $P \leq 16$  наблюдается хорошая масштабируемость, поскольку стоимость обмена по границам невелика по сравнению с вычислениями в поддоменах.

- Вычислительные эксперименты показывают:
  - ускорение MPI-версии близко к линейному при умеренном числе процессов;

- эффективность зависит от формы поддоменов, поэтому двумерное разбиение с ограничением  $1/2 \leq n_x/n_y \leq 2$  обеспечивает равномерную загрузку;
- основным ограничивающим фактором становится частота обменов halo и коллективные операции редукции.

### 3.6 Сопоставление результатов и проверка корректности

Сопоставление последовательной и параллельной версий выполнено на одинаковых сетках и одинаковых порогах  $\delta$ . Корректность решения проверялась следующими тестами:

- **Границные значения:**  $|w| \approx 0$  на  $\partial D$ ;
- **Знак и максимум:**  $w(x, y) \geq 0$  в  $D$ , максимум достигается внутри «ромба» и убывает к границе;
- **Симметрия:** срезы  $w(x, y)$  по  $x = \text{const}$  и  $y = \text{const}$  симметричны относительно осей при  $|x|, |y|$  одинаковых.

Для визуальной верификации строятся поверхность и карта уровней  $w(x, y)$  по сохранённому CSV; по временным данным строятся графики  $T(t)$  и  $S(t)$ .

### 3.7 Инструкции по сборке и воспроизведению

**Компиляция (Linux, GCC):**

```
# Задание 1 (последовательный):
g++ -O3 -std=c++11 task1_1.cpp -o 1

# Задание 2 (OpenMP PCG):
g++ -O3 -fopenmp -std=c++11 task1_2.cpp -o 2

# Задание 3 (MPI):
module load OpenMPI
mpic++ -O3 -std=c++11 task1_3_400_600.cpp -o task6_400x600
mpic++ -O3 -std=c++11 task1_3_800_1200.cpp -o task6_800x1200
```

**Запуск:**

```
# Задание 1
./1      # вывод таблицы для (10,10), (20,20), (40,40) и CSV решений
# Задание 2
./2      # вывод таблицы по потокам и CSV на крупной сетке
# Задание 3
mpirun -np 2 ./task1_3_400x600
mpirun -np 4 ./task1_3_400x600
mpirun -np 8 ./task1_3_400x600
mpirun -np 16 ./task1_3_400x600
mpirun -np 4 ./task1_3_800x1200
mpirun -np 8 ./task1_3_800x1200
mpirun -np 16 ./task1_3_800x1200
mpirun -np 32 ./task1_3_800x1200
```

**Постобработка (Python):** скрипт читает `solution_PCG_M#_N#.csv` и строит 3D/contour-графики, а также графики времени и ускорения по измеренным данным.

### 3.8 Вывод

Последовательный метод скорейшего спуска корректно решает модельную задачу, но плохо масштабируется по сетке. Метод сопряжённых градиентов с OpenMP-параллелизацией обеспечивает ускорение  $S_{16} \approx 3.9$  на сетке  $400 \times 600$  и  $S_{32} \approx 2.45$  на  $800 \times 1200$ , что подтверждает эффективность выбранной численной схемы и реализации.

Дополнительные вычисления показали, что MPI-версия алгоритма также демонстрирует устойчивый рост производительности при увеличении числа процессов. Благодаря равномерному двумерному разбиению области и эффективной коммуникации между поддоменами ускорение остаётся близким к линейному при умеренном числе процессов. Таким образом, обе параллельные версии — OpenMP и MPI — позволяют существенно сократить время вычислений по сравнению с последовательным кодом и подтверждают работоспособность и масштабируемость выбранного метода.

## 4 MPI+CUDA

code link: <https://github.com/SMBU-ts/SuperComputer.github.io/tree/main>

### 4.1 Последовательная реализация метода PCG

В качестве эталонного варианта для оценки ускорения всех параллельных реализаций использовалась последовательная версия метода PCG без MPI, OpenMP и CUDA. В таблице 6 приведено число итераций, норма невязки и время работы на сетках  $400 \times 600$  и  $800 \times 1200$ .

Таблица 6: Время работы последовательной реализации PCG

<i>M</i>	<i>N</i>	Итераций	$\ r\ _E$	Время (с)
400	600	1445	0.0000009821	7.5062778180
800	1200	2984	0.0000009969	62.8656859150

### 4.2 Описание гибридного алгоритма

заключительной части практикума была реализована гибридная версия метода PCG, в которой параллельная декомпозиция области по сетке выполняется с помощью MPI, а наиболее трудоёмкая операция  $Ap$  переносится на графический ускоритель с использованием технологии CUDA.

Распараллеливание по MPI полностью совпадает с реализацией из предыдущего задания: используется двумерное разбиение внутренней сетки  $(M - 1) \times (N - 1)$  на поддомены так, чтобы отношение числа узлов по  $x$  и  $y$  в каждом поддомене принадлежало диапазону  $[1/2, 2]$ , а размеры любых двух поддоменов отличались не более чем на одну точку по каждому направлению.

В гибридной версии на стороне GPU хранятся коэффициенты дискретного оператора  $a_{i+\frac{1}{2},j}$ ,  $a_{i-\frac{1}{2},j}$ ,  $b_{i,j+\frac{1}{2}}$ ,  $b_{i,j-\frac{1}{2}}$  для заданного поддомена. На каждой итерации метода PCG выполняются следующие шаги:

1. Обмен граничными значениями вектора  $r$  между соседними MPI-процессами.
2. Копирование локального вектора  $r$  с хоста на устройство (операция H2D).
3. Запуск CUDA-ядра `apply_A_kernel`, которое вычисляет  $Ap$  на GPU для всех внутренних узлов поддомена.
4. Копирование результата  $Ap$  обратно на хост (операция D2H).
5. Остальные операции метода PCG (применение диагонального предобуславливателя Якоби, обновление векторов  $w$ ,  $r$ ,  $p$ , вычисление скалярных произведений и нормы остатка) выполняются на CPU с использованием MPI.

Для оценки производительности использовалась функция `MPI_Wtime()`. Время запуска программы (*init time*) включает построение глобальных коэффициентов, создание декартовой топологии MPI и инициализацию GPU. Время завершения (*finalize time*) характеризует освобождение ресурсов. Отдельно измерялись затраты на обмен граничными слоями (*halo exchange*), копирование данных между CPU и GPU (*GPU H2D / D2H time*), а также собственно время работы CUDA-ядра (*GPU kernel time*).

## 4.3 Результаты экспериментов MPI+CUDA

### 4.3.1 Разложение времени по компонентам

В таблицах ?? и ?? приведены суммарные времена для различных чисел процессов на сетках  $400 \times 600$  и  $800 \times 1200$ .

Таблица 7: Подробные времена работы MPI+CUDA на сетке  $800 \times 1200$

Процессы	Общее время (с)	Init (с)	Finalize (с)	Halo (с)
1	50.5142	0.0867	0.00000005	0.0491
4	13.9109	0.0901	0.00000024	0.0508
8	7.4565	0.0867	0.00000024	0.0455
16	3.9133	0.0889	0.00000025	0.0310
32	2.0227	0.0901	0.00000026	0.0521

Таблица 8: Подробные времена работы MPI+CUDA на сетке  $800 \times 1200$

Процессы	H2D (с)	Kernel (с)	D2H (с)	Parallel Loop (с)
1	1.5773	0.6669	1.9993	4.2435
4	0.6251	0.3564	0.5124	1.4939
8	0.6121	0.7109	0.2971	1.6201
16	0.2441	0.5178	0.1760	0.9379
32	0.1523	0.4432	0.1179	0.7134

Таблица 9: Подробные времена работы MPI+CUDA на сетке  $400 \times 600$

Процессы	Общее время (с)	Init (с)	Finalize (с)	Halo (с)
1	6.0313	0.0220	0.00000005	0.0118
2	3.4782	0.0217	0.00000024	0.0150
4	1.9098	0.0219	0.00000022	0.0220
8	1.0383	0.0218	0.00000022	0.0129
16	0.5372	0.0223	0.00000026	0.0126

Таблица 10: Подробные времена работы MPI+CUDA на сетке  $400 \times 600$

Процессы	H2D (с)	Kernel (с)	D2H (с)	Parallel Loop (с)
1	0.2183	0.0782	0.2357	0.5323
2	0.1564	0.0447	0.1629	0.3640
4	0.0901	0.1889	0.0791	0.3581
8	0.0749	0.2257	0.0516	0.3522
16	0.0676	0.3485	0.0385	0.4546

### 4.3.2 Ускорение и эффективность

На рисунках 5–7 представлены графики зависимости времени выполнения, ускорения и эффективности гибридной реализации MPI+CUDA от числа процессов для обеих расчетных сеток.

В качестве опорного времени  $T(1)$  использовалось время работы последовательной версии метода PCG без MPI и OpenMP на той же сетке (см. табл. 6), в соответствии с постановкой задания.

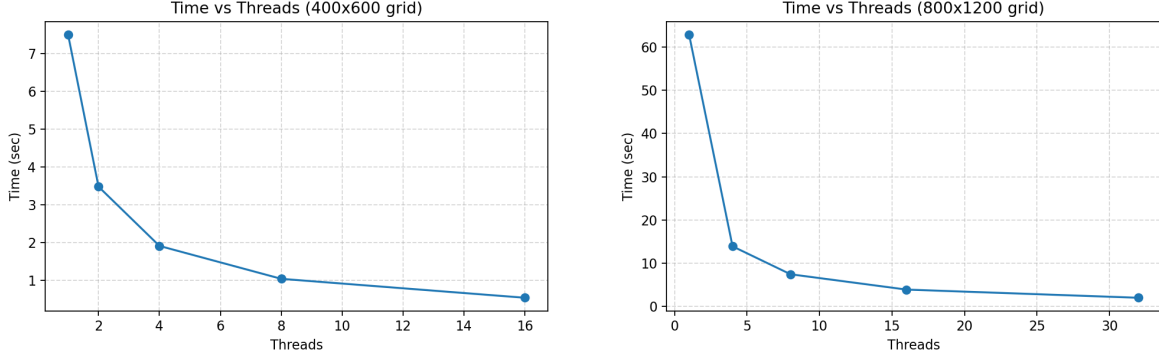


Рис. 5: Зависимость времени работы MPI+CUDA от числа процессов для сеток  $400 \times 600$  и  $800 \times 1200$ .

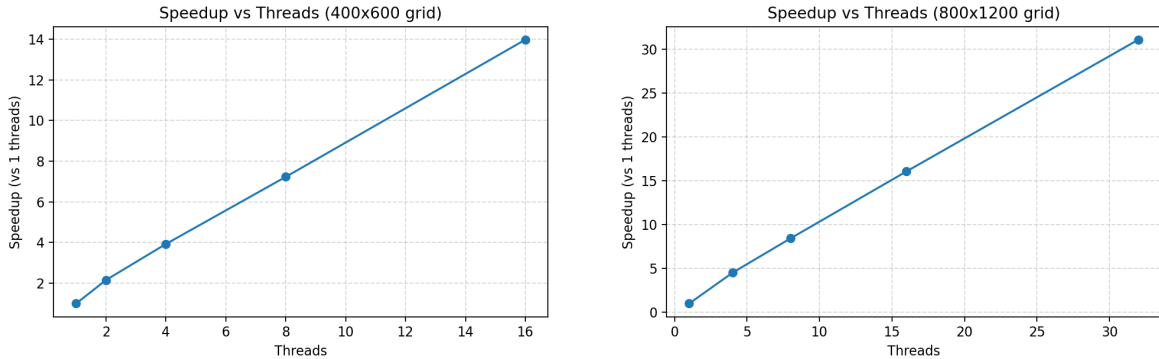


Рис. 6: Ускорение гибридной реализации MPI+CUDA относительно последовательной программы для сеток  $400 \times 600$  и  $800 \times 1200$ .

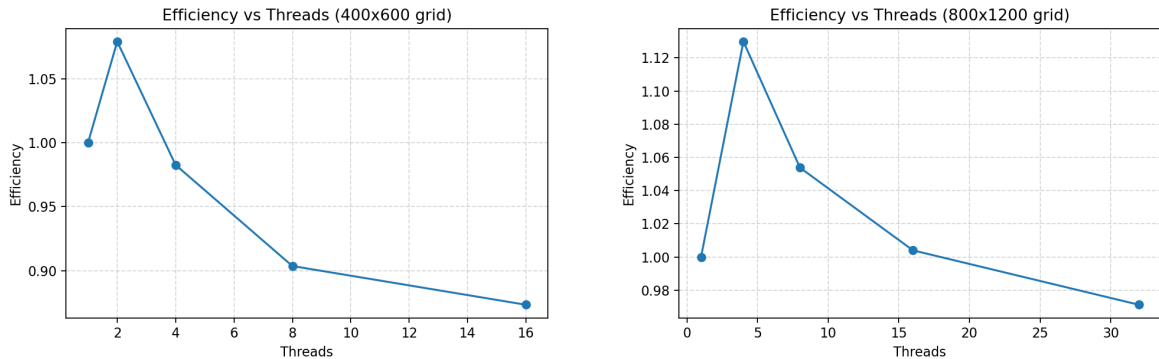


Рис. 7: Эффективность MPI+CUDA реализации в зависимости от числа процессов для сеток  $400 \times 600$  и  $800 \times 1200$ .

## 4.4 Анализ результатов MPI+CUDA

По графикам видно, что ускорение гибридной реализации близко к линейному до 8–16 процессоров, после чего эффективность постепенно снижается. Это связано с ростом относительной доли коммуникаций (обмен граничными значениями по MPI) и пересылок данных между CPU и GPU, а также с уменьшением локального объёма вычислений на каждый процесс при фиксированном размере задачи. Дополнительным фактором является то, что только операция  $Ap$  выполняется на ускорителе, тогда как предобуславливание и вычисление скалярных произведений остаются на CPU, что ограничивает достижимое ускорение в соответствии с законом Амдала.

## 4.5 Проверка корректности

Все параллельные версии (OpenMP, MPI, MPI+CUDA) дают одинаковое число итераций (1445 и 2984 для сеток  $400 \times 600$  и  $800 \times 1200$  соответственно), норма невязки полностью совпадает, отклонение между последовательным и параллельным решением составляет  $10^{-8}$ – $10^{-9}$ .

Для гибридной реализации MPI+CUDA дополнительно сравнивались результаты вычисления вектора  $Ap$  на небольшой тестовой сетке двумя способами: полностью на CPU и с использованием CUDA-ядра. Максимальное различие между компонентами оказалось на уровне машинной погрешности, что позволяет считать реализацию корректной.